

УДК 523.98

## ПРОСТРАНСТВЕННАЯ АНИЗОТРОПИЯ ХРОМОСФЕРНЫХ ВСПЫШЕК В ЗОНЕ ПЯТЕН И ПРОБЛЕМА ВНЕШНЕГО ИСТОЧНИКА ЭНЕРГИИ ВО ВСПЫШКАХ

Касинский В.В.

*ИрГТУ, Иркутск, e-mail: vkasins@yandex.ru*

Построена векторная диаграмма «бабочек» (ВДБ) по данным средних положений 6700 умеренных вспышек (1980-1983 гг.). Вектор  $R(\varphi, t)$  выявляет глобальную пространственную анизотропию вспышек по отношению к группам пятен. Широтная компонента  $R$  направлена к центру ВДБ, что указывает на существование возмущения, исходящего из центра. Долготная компонента  $R$  имеет характер E-W сдвигов. В рамках триггерного сценария в качестве первичного источника энергии вспышек следует рассматривать внешнее кинетическое возмущение со скоростью 1–2 км/с.

**Ключевые слова:** анизотропия вспышек, векторные диаграммы, внешний источник энергии вспышек

## THE SPATIAL ANISOTROPY OF FLARES IN THE SUNSPOT ARIA, VECTOR DIAGRAMS AND PROBLEM THE EXTERNAL SOURCE OF ENERGY OF FLARES

Kasinskii V.V.

*IrGTU, Irkutsk, e-mail: vkasinsv@yandex.ru*

Data on the mean position of moderate flares (6700) used to construct the vector «butterfly» diagram (VBD), 1980-1983. Vector  $R(\varphi, t)$  reveals the global spatial anisotropy of the flares with respect to sunspot groups. The latitudinal component of  $R$  is always directed to the centre of the VDD which indicates that there exists some disturbance originates from the diagram centre. The longitudinal component of  $R$  has a character of E-W shifts. In terms of triggering scenario of flares the originally source of flare's energy should be considered as an external kinetic disturbance with the velocity of order of 1-2 km / c.

**Keywords :** flare's anisotropy, vector diagram, external source of energy of flares

Как известно, 11-летний солнечный цикл иллюстрируется диаграммой «бабочек», построенной Маундером (1914 г.). Диаграмма представляет собой широтное распределение частоты встречаемости солнечных пятен. Причём середина « $\varphi-t$ »-диаграммы проявляется максимальной частотой пятен [1]. Сама диаграмма носит скалярный характер. Векторные диаграммы вспышек вскрывают новые, неизвестные ранее стороны вспышечного процесса [1, 2]. Они указывают на источник возмущения вспышек – середину « $\varphi-t$ »-диаграммы и определяют скорость возмущающего агента.

Предыдущие результаты [3, 4] были получены по всем вспышкам, включая субвспышки, составляющие более 95% всех вспышек. В данной работе построены векторные диаграммы для относительно больших вспышек балла ( $1 \leq B \leq 3$ ) и субвспышек с измеримой площадью  $S > 20$  м.д.п (миллионных долей полусферы). Число таких вспышек составляет 24% за 1981 г. Это исключает вспышечный «фон», координаты вспышек которого измерены с меньшей точностью.

Всего было обработано около 6700 вспышек в 773 группах пятен на фазе спада 21-го цикла (1980-1983 гг.). Векторные диаграммы «широта-время» ( $\varphi, t$ ) вспышек циклов 17-20, выявляют пространственную

анизотропию вспышек [7]. Вектор  $R(\varphi, t)$  показывает среднее положение вспышек в системе координат групп-пятен. Вектор  $R(\varphi, t)$  выделяет два типа направлений на « $\varphi-t$ »-диаграмме. Широтное смещение вспышек имеет «центростремительную» тенденцию, указывая на середину диаграммы «бабочки». Долготные смещения вспышек имеют противоположные направления для высокоширотных и низкоширотных групп. Долготные смещения «E-W» интерпретируются как эффект аберрации вспышечного агента [4]. По эффекту аберрации определяется скорость триггерного «агента» ~1-2 км/с.

Методика построения векторных диаграмм вспышек дана в [1-3]. Среднее широтное смещение центра вспышек по отношению к группе пятен рассчитывалось по формуле

$$R(\varphi, t) = \langle \Delta\varphi \rangle = \frac{1}{n} \sum \frac{1}{N} (\varphi_i - \varphi_s), \quad (1)$$

где  $\varphi_i$  – широта вспышки;  $\varphi_s$  – широта центра группы; а  $N$  – число вспышек в группе пятен;  $n$  – число групп пятен в выбранном интервале диаграммы. Суммирование в (1) ведется дважды, сначала по всем вспышкам в данной группе ( $i$ ), а затем по всем группам ( $s$ ) в интервале диаграммы ( $5^\circ \cdot 2$  оборота Солнца). Точность определения  $R$  будет выше для групп с большим числом вспы-

шек ( $N$ ) и числом групп ( $n$ ). В табл. 1 приведено распределение вспышек по годам и по полушариям – всего 6680 вспышек.

В последней строке приведены числа Вольфа. Заметно преобладание числа вспышек в южном полушарии.

Таблица 1

Распределение вспышек по годам и по полушариям

	1980	1981	1982	1983	Всего
$N$ полушарие	1131	739	979	189	3038
$S$ полушарие	1245	748	849	802	3644
Всего ( $N + S$ )	2376	1487	1828	991	6682
Число Вольфа	155	140	116	67	

Долготное положение вспышки относительно этого пятна определяется путем переноса центра группы с угловой скоростью  $\omega_s$  на момент вспышки по формуле:

$$\Delta\lambda = \lambda(t_i) - \omega_s[t_i - t(CM)]. \quad (2)$$

Здесь  $\lambda(t_i)$  – долгота вспышки по [8];  $\omega_s$  – угловая скорость группы ( $s$ );  $t(CM)$  – момент прохождения группы через центральный меридиан (СМ). Далее  $\Delta\lambda$  усредняется дважды, сначала по всем вспышкам в данной группе ( $i$ ), а затем по всем группам ( $s$ ) в интервале диаграммы. Для нахождения  $\omega_s$  применялся двойной подход. В случае, когда число вспышек в группе было небольшим,  $N \leq 5$ , принималась стандартная угловая скорость вращения по Алелу  $\omega(\varphi)$  [5]. Во всех остальных случаях по координатам  $\lambda(t_i)$  вспышек рассчитывалась средняя угловая скорость группы  $\omega_s$  группы по каталогу «Eruptions Chromosphere» [8].

На рис. 1 приведена вектор-диаграмма вспышек за 1980–1983 гг. с усреднением по годам. Приведены как широтные  $\Delta\varphi$  так и долготные  $\Delta\lambda$  смещения вспышек. Внимательное рассмотрение векторной диаграммы позволяет сделать следующие выводы.

1. В эпицентре диаграммы смещение  $R$  уменьшается ( $R \geq 0$ ). То есть имеет место тенденция к изотропии распределения вспышек относительно групп пятен. Это особенно заметно в северном ( $\sim 15^\circ$ ), полушарии (1981-83 гг.). Наоборот, с удалением от эпицентра диаграммы величина  $|R|$  растёт, достигая максимума  $\sim 1,5^\circ$  на периферии диаграммы, что особенно заметно для широт  $30^\circ$  и более.

2. На высоких широтах преобладает отрицательный сдвиг  $R_\varphi$  (к экватору), а на низких – положительный ( $R_\varphi > 0$ ) сдвиг к полюсу. Таким образом, подтверждается «центростремительная» тенденция анизотропии вспышек, ранее полученная в [3].

3. Наблюдаются противоположные долготные «E-W» сдвиги на высоких и низких широтах, что особенно заметно в север-

ном полушарии. В целом векторная диаграмма для сильных вспышек (см. рис. 1) подтверждает основные особенности векторных диаграмм, построенных ранее для слабых вспышек [3, 4].

Количественным подтверждением приведённых выводов служит рис. 2, который показывает широтные смещения вспышек в зависимости от широты группы по данным 1713 вспышек (1980–1981 гг.). Четко видна «центростремительная» тенденция смещения вспышек. На широтах  $20\text{--}25^\circ$  смещение отрицательно (к экватору), а на низких ( $5\text{--}10^\circ$ ) – положительно (направление к полюсу). Приведено уравнение регрессии и уровень достоверности аппроксимации  $R^2 = 0,94$ . «Центростремительный» характер смещения вспышек (см. рис. 2) легко объяснить, если считать, что от эпицентра диаграммы исходит некоторое кинетическое возмущение, которое в другой группе пятен дает вспышку.

Из предыдущего следует, что центр векторной диаграммы выделен самим процессом вспышек, т.е. физически значим. Он служит в качестве источника глобального возмущения вспышек. Это возмущение «провоцирует» вспышку в той точке (группе пятен), которой оно достигает в результате распространения от некоторой средней широты  $\varphi^0$  до данной широты группы  $\varphi$ . Поскольку группы пятен принадлежат к различным зонам вращения (дифференциальное вращение Солнца), то высокоширотные пятна будут «отставать» от возмущения, в то время как экваториальные «упреждать» возмущения. Это приведет к сдвигам вспышек по долготе противоположного знака. Высокоширотные пятна будут показывать положительный  $R > 0$  (западный сдвиг), а низкоширотные зоны – отрицательный  $R < 0$  (восточный) сдвиг. Регулярная картина долготных смещений  $\pm R_\lambda$  вспышек относительно пятен интерпретируется в рамках эффекта аберрации [4].

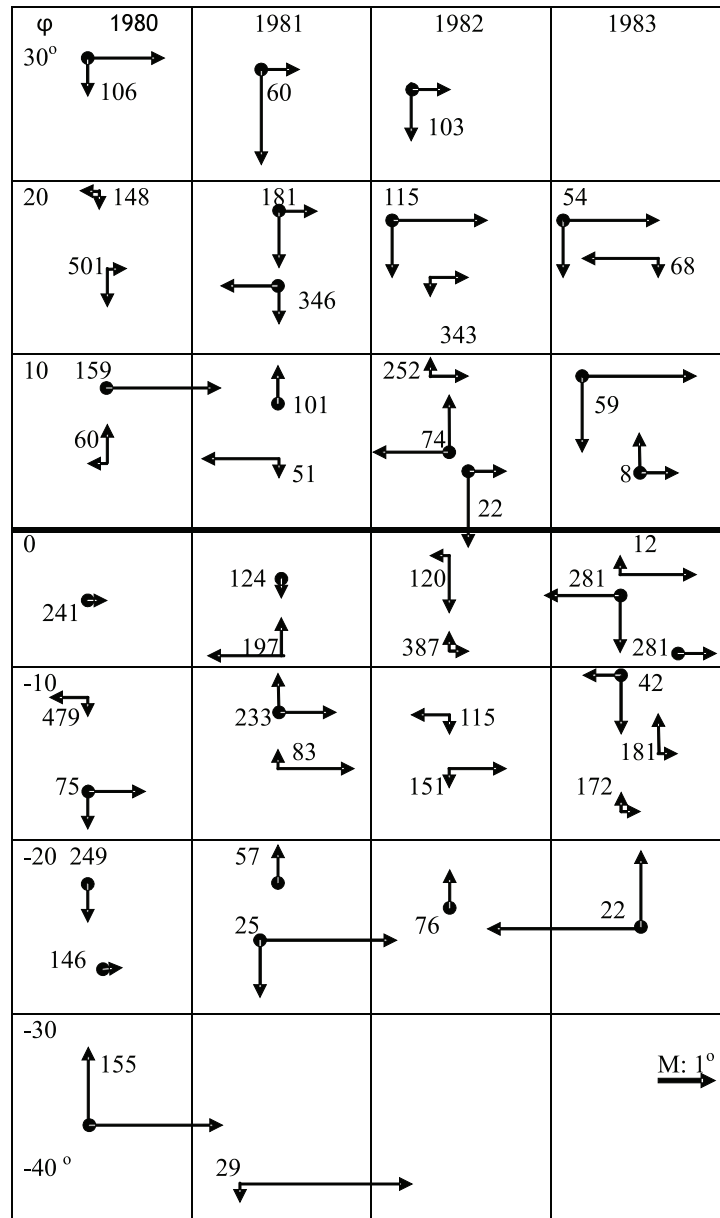


Рис. 1. Векторная диаграмма смещений вспышек с усреднением за годичный интервал. По оси абсцисс – годы (1980-1983). По оси ординат гелио – широта. Цифры в ячейках – число вспышек усреднения

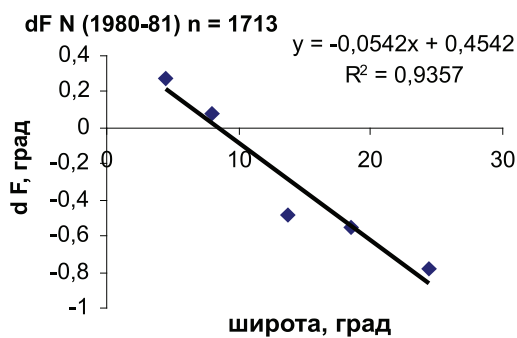


Рис. 2. График широтного смещения вспышек за 1980–1981 гг. (1713 вспышек). На широтах 20–25° смещение R отрицательно, а на низких широтах (5–10°) – положительно

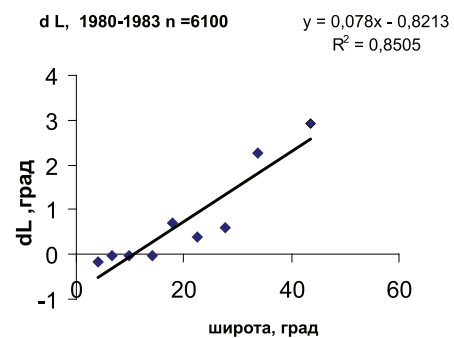


Рис. 3. Долготное смещение вспышек за 4 года 1980-1983 гг., (6100 вспышек). Видно, что на широтах 40–20° смещение положительно (к западу), а на низких (0–10°) отрицательно (к востоку)

Рис. 3 показывает долготные смещения вспышек в зависимости от широты группы по данным 6100 вспышек (1980–1983 гг.). Видно, что на широтах 40–20° смещение положительно (направлено к западу), а на низких (0–10°) отрицательно (к востоку).

Аберрационный эффект основан на двух факторах – на конечной скорости возбуждения  $V$ , идущего от центра диаграммы и переносного смещения групп пятен на данной широте  $\varphi$ , в которых наблюдаются вспышки. Известно, что угол аберрации света  $\beta$  имеет вид [5]:

$$\operatorname{tg}\beta = V/C, \quad (3)$$

где  $V$  скорость наблюдателя;  $C$  – скорость света (возмущения). В нашем случае  $V = V(\varphi) - V(\varphi_0)$ , где  $\varphi$  – широта вспышки,  $\varphi_0$  – широта источника возмущения. Согласно рис. 3 смещение  $R$  составляет  $-1^\circ$  на

широте  $5^\circ$  и  $+2^\circ$  на широте  $30^\circ$ . Тогда, принимая  $\varphi - \varphi_0 = 15^\circ$ , имеем  $\operatorname{tg}\beta \sim 0,1$ . Это соответствует углу аберрации  $\sim 6^\circ$ . Подставляя соответствующие суточные угловые скорости по моделям вращения Солнца [5], получим  $C \sim 1-2$  км/с.

В табл. 2 приведена сводка коэффициентов надежности  $R^2$ , корреляции  $R$  и чисел вспышек, по которым рассчитывались уравнения регрессии (см. рис. 2). В скобках в столбце  $N$  (%) приведен процент вспышек от полного числа  $N$ , вошедших в обработку. В строках 7–9 показаны соответствующие параметры регрессии для попарно объединенных годов. Как видно из табл. 2, широтный сдвиг вспышек в  $N$  – полушарии выявляется с большей надежностью, чем в южном, где коэффициенты корреляции больше 0,7 только для 1982-1983 гг. Однако и в южном полушарии этот эффект заметен.

**Таблица 2**

Коэффициенты достоверности  $R^2$  и числа вспышек  $N$  для широтных сдвигов

Год	$N$ полушарие		$S$ – полушарие	
	$R^2 (R)$	$N$ (%)	$R^2 (R)$	$N$ (%)
1980	0,56 (0,75)	974 (100%)	0,46 (0,68)	1004 (100%)
1981	0,97 (0,985)	688 (95%)	0,26 (0,52)	694 (93%)
1982	0,89 (0,94)	887 (92%)	0,57 (0,76)	849 (100%)
1983	–	189 (100%)	0,53 (0,73)	768 (98%)
1980-1981	0,936 (0,97)	1713 (100%)		
1981-1982	0,96 (0,98)	1475 (91%)		
1982-1983			0,74 (0,86)	1739 (99%)

Возникает вопрос – какова возможная природа возмущающего агента вспышек? Бруцеком давно обнаружен невидимый кинетический агент в хромосфере, возмущающий волокна и передвигающийся со скоростями 1–10 км/с [6]. В теории несжимаемой жидкости доказывается, что скорость волн на поверхности равна

$$V = \sqrt{g/k},$$

где  $k = 2\pi/\lambda$ ,  $\lambda$  – длина волны. Для Солнца  $g = 0,274$  км/с<sup>2</sup>. Реальные размеры субвспышек не превышают масштаба  $\lambda \sim 1000$  км. Высота от основания конвективной зоны до хромосферы 300 км, а высота однородной атмосферы на уровне температурного минимума  $H \sim 100$  км. Волны, для которых  $\lambda \gg H$ , называются длинными и их фазовая скорость приближается к  $V = \sqrt{gH}$ . Для  $H = 100-1000$  км, получим,  $V = 5-10$  км/с – что порядка скорости триггерного возмущения по данным долготной аберрации вспышек. Таким образом, длинные гравитационные волны в температурном минимуме хромосферы подходящая кандидатура для триггера вспышек. Для мощных вспышек балла 2, 3 в качестве триггеров должны выступать более сильные возмущения. В качестве таковых могут выступать магнитогидродинамические «солитоны», как первичные источники энергии и вещества во вспышках [9]. Вспышки на лимбе Солнца часто выглядят как возвышения, купола или конусы, что может быть результатом волн – «солитонов» [7].

Другим мощным возмущением могут быть медленные гравитационные волны типа «цунами» [10].

Граничная частота гравитационных волн в хромосфере

$$\omega_g \sim g/V_g, \quad g = 274 \text{ м/с}^2,$$

$V_g$  – скорость звука (7 км/с) составляет  $1,75 \cdot 10^{-2} \text{ с}^{-1}$  (период 6 минут). Так как длительности  $\tau$  вспышек составляют 5–60 минут, то  $\omega < \omega_g$ , что соответствует внутренним гравитационным волнам (горизонтальное распространение) [11].

Анизотропия вспышек по отношению к центру группы пятен затрагивает вопрос об однородности и изотропности пространства королевской зоны пятен. Очевидно, что в случае внутреннего источника энергии вспышек пространственное положение вспышек не должно зависеть (при большом усреднении) от положения группы пятен на « $\phi, t$ » диаграмме. Тем более оно не должно зависеть от направления на центр диаграммы – «бабочки», который является центром пятно – образования. В применении к пятнам, как системам координат, в которых возникают вспышки, это означает, что все положения пятен на диске Солнца и различные направления, должны быть эквивалентны,  $R(\phi, t) \rightarrow 0$ . Как показывает векторная диаграмма (см. рис. 1) это не имеет места.

### Выводы

1. Анализ распределения вспышек в группах пятен показывает, что центр векторной диаграммы  $R(\phi, t)$ , выделен самим вспышечным процессом и физически значим для вспышек. Он является вероятным источником глобального «триггерного» возмущения вспышек на « $\phi-t$ »-диаграмме.

2. Тот факт, что вспышки показывают сильную пространственную асимметрию ( $R \neq 0$ ) налагает дополнительные ограничения на механизм явления вспышек. В соответствии с принципом относительности в механике внутренняя анизотропия процесса вспышек на « $\phi-t$ »-диаграмме указывает на действие дополнительных факторов, отличных от магнитных, в системе координат пятен. Таким фактором является внешний кинетический «агент» или «триггер» вспышек.

3. В связи с обнаруженной пространственной анизотропией вспышек (век-

торные диаграммы) не исключено, что существующие модели вспышек, требуют переработки и модификации с учетом внешнего источника энергии во вспышках. В качестве такого источника энергии могут выступать магнитогидродинамические волны, «солитоны», [7] и гравитационные волны типа «цунами» или внутренние гравитационные волны [10, 11].

### Список литературы

1. Касинский В.В. О пространственной асимметрии распределения вспышек относительно солнечных пятен // Солнечные данные. – 1968. – №1. – С. 104–108.
2. Касинский В.В. Собственные положения хромосферных вспышек в двух 11-летних циклах активности // Солнечные данные. – 1973. – №7. – С. 77–86.
3. Касинский В.В. Пространственная когерентность солнечных вспышек и широтно-временная структура некоторых индексов активности в 17-19 циклах // Сб. Исслед. по геомагнетизму, аэронауке и физ. Солнца. – М.: Наука, 1988. – Т. 79. – С. 25–40.
4. Касинский В.В. Долготная асимметрия (абerrация) вспышек относительно центров групп пятен на диаграмме широта-время и её интерпретация // Исслед. по геомагн., аэронауке и физ. Солнца. – Новосибирск: ВО «Наука», 1994. – Вып. 102. – С. 152–161.
5. Ален К.У. Астрофизические величины. – М.: Изд-во Ин. лит., 1960. – С. 300.
6. Смит Г., Смит Э. Солнечные вспышки. – М.: Мир, 1966. – 426 С; С. 91, С.97.
7. Могилевский Э.И. Структуризация вспышко-активной области и солитонная модель первичного источника энергии и вещества в солнечных вспышках // Кинематика и физика небесных тел. – Киев, 1986. – №2. – С. 75–82.
8. Quarterly Bulletin on Solar Activity // Publication Tokio Astronom. Obs. UNESCO. – Vol. 22 (1980) – Vol. 25 (1983). – P. 1–69.
9. Kasinsky V.V. The spatial anisotropy of flares with respect to sunspot groups and vector butterfly diagrams in solar activity cycles 17–20 // Astronomical and astrophysical Transactions. – Gordon and Breach, 1999. – Vol. 17. issue 5. – P. 341–350.
10. Kasinsky V.V., Krat V.V. On the solar tsunamy // Solar Physics. – 1973. – Vol. 31. – P. 219–228.
11. Gibson E.G. The Quiet Sun // NASA. – Washington, 1973. – P. 185.